

2次元 normal singularityについて

都立大 理 渡辺 敏一

§1. 序

特異点の解消の問題が解かれた現在、次の問題は特異点それ自体に注目し、その性質を調べる事である。2次元の normal singularityについては、特に良い性質をもつもの (rational singularity) については、かなり古くから、多くの論文があるが、それ以外の singularityについても、最近 Wagreich, Orlik などの研究により進歩が著しい。本稿では、singularity の「グラフ」の話を中心としてそれらの結果を紹介して行きたい。なお、証明は参考する原論文を見て頂けたい。

§2. Resolution. とそのグラフ.

$x \in X$ が 2 次元^(*) normal singularity とする。簡単の為、 $X - \{x\}$ は特異点をもたないとしておく。 $\pi: \tilde{X} \rightarrow X$ が singularity \rightarrow resolution であるとは、 π は proper で、 π は \tilde{X} は non-singular
^(*) complex analytic space のカテゴリーで考える。

$\tilde{X} - \pi^{-1}(x)$ と $X - x$ の biholomorphic map を引き起す事をい。このとき、 $\pi^{-1}(x)$ は（一般に reducible で、特異点をもつ）一次 $\bar{\pi}$ compact connected analytic variety になる。このとき、 $\pi^{-1}(x) = \bigcup_{i=1}^n A_i$ と、 $\pi^{-1}(x)$ を既約成分に分解しておく。

(1) π が X の minimal resolution とは、 $\pi = \varphi \circ \pi_1$ と分解するような X の resolution π_1 が存在しない事。よく知られてるようだ。

π が minimal $\Leftrightarrow A_i \cong \mathbb{P}^1$, $A_i^2 = -1$ なるものが存在しない。 X の minimal resolution は unique である。([L], V章).

(2) X の resolution π が次の条件をみたとき、 π は good resolution であるといふ。

(i) A_i は non-singular (A_i)

(ii) A_i と A_j が交わるときは、transversal に交わる。

(iii) $A_i \cap A_j \cap A_k = \emptyset$ (i, j, k は互いに異る)。

good resolution は必ず存在する。good resolution は一般に minimal ではないが、good resolution たちの中でも最小のものが存在する。([L], V章参照)

(3) $A = \bigcup_{i=1}^n A_i$ 又は resolution π に対する グラフ を次のように定義する。

(i) 各 curve A_i には頂点 (○であらわす) が対応する。

(ii) A_i と A_j が交わっているとき、 A_i と A_j に対応する頂

点を線で結ぶ (transversal に交わるとき $\circ\circ$ 、multiplicity 2の点で交わるとき $\text{O}m\text{O}$ と書く。異なる 2 点で transversal に交わっているとき、 $\circ\circ\circ$)

(iii) A_i に対応する頂点の中に A_i^2 を表わす数字を入れる。

($A_i^2 = -n$ のとき $\text{-}n$ と書く)。但し、 $A_i^2 = -2$ のときは (これが最も多いので) 何も書かない。 $(\text{-}2) = \text{O}$).

(iv) A_i の genus が g のとき、 $\text{O}_{[g]}$ と書く。但し、 A_i が non-singular rational のときは何も書かない ($\text{O}_{[0]} = \text{O}$)。

(v) 三つ以上の curve が一点で互いに transversal に交わるとき、 OOO などと書く事にする。

(説明は面倒だが §6. の例を見れば一目瞭然である。)

★ 与えられたグラフに対し、そのグラフをもつ $A = \bigcup_{i=1}^n A_i$ を 2 次元 manifold の中に実現する事ができる。(Hirzebruch [4] 参照)

(4) M が 2 次元 manifold, $A = \bigcup_{i=1}^n A_i$ を M の 1 次元 compact connected subvariety とする。このとき、

A が contractible $\overset{\text{def.}}{\iff} \exists \pi: M \rightarrow X$, X は 2 次元 analytic variety で、 $\pi(A) = \{x\}$, $\pi|_{M-A}: M-A \cong X-\{x\}$ (biholomorphic).

$\pi(A) = x$ が X の normal point である事を要請すれば、このようなら π は unique に定まる。

Theorem A. (Grauert).

$A \subset M$ が contractible \Leftrightarrow 交叉行列 $(A_i \cdot A_j)_{1 \leq i, j \leq n}$ が 負定値.

(5) 与えられたグラフに対して、交叉行列 $(A_i \cdot A_j)$ が きまと
るが、この行列が負定値である事を判定するのに、次の補題
が有用である。

Lemma (Artin, [1])

① $(A_i \cdot A_j)$ が negative semidefinite $\Leftrightarrow \exists z = \sum n_i A_i > 0, \forall i, z \cdot A_i \leq 0$.

② 更にこのとき、 $(A_i \cdot A_j)$ が negative definite $\Leftrightarrow z^2 < 0$.

($A = \bigcup A_i$ は連結より、①の z に於て、 $\forall i, n_i \geq 1$ となる。)

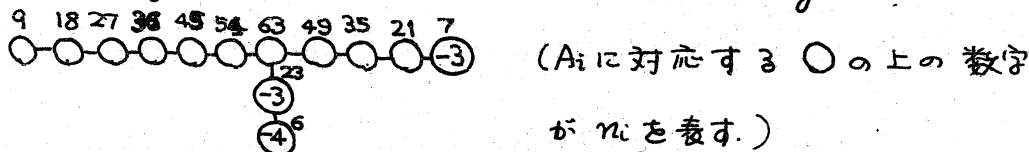
(6) Fundamental cycle.

$z_1 = \sum n_{1i} A_i, z_2 = \sum n_{2i} A_i$ があり、 $z_1 > 0, z_2 > 0, z_1 \cdot A_i \leq 0$

$z_2 \cdot A_i \leq 0 \quad (i=1, \dots, n)$ とする。このとき $z = \sum n_i A_i$,
 $n_i = \min(n_{1i}, n_{2i})$ とすると、 $\forall i, z \cdot A_i \leq 0$ である事がわかる。

即ち、 $\{z > 0 \mid z = \sum n_i A_i \text{ & } z \cdot A_i \leq 0 \quad (i=1, \dots, n)\}$ は最小元
をもつ。 $(z' = \sum n'_i A_i \geq z = \sum n_i A_i \Leftrightarrow n'_i \geq n_i \quad (\forall i))$ 。この最小元
を $A = \bigcup_{i=1}^n A_i$ の (又は対応するグラフの) fundamental cycle
といふ。グラフに対して fundamental cycle は一意的に決まる
が、グラフが複雑になると、その決め方は易しくないようだ。

例1. $x^7 + y^9 + z^{11} = 0$ の resolution の fundamental cycle は



(7) $(x, x), (x', x')$ が x, x' の近傍でそれぞれ $\mathbb{C}^N, \mathbb{C}^{N'}$ に埋め込まれてゐるとして. $S_\varepsilon^{2N-1} = \{z \in \mathbb{C}^N \mid |z| = \varepsilon\}, K = X \cap S_\varepsilon^{2N-1}, K' = X' \cap S_\varepsilon^{2N'-1}$ とする. もし (x, x) と (x', x') のある resolution (13) が minimal resolution が同じグラフをもつならば, $K \cong K'$ (diffeo) である. (K は $A = \pi_1(x)$ の tubular nbd. の boundary である.) この理由から、resolution のグラフで singularity を分類する事を singularity の topological な分類という.

(8) グラフによる基本群 $\pi_1(K)$ の計算.

グラフは K の topology を決めるから、当然 $\pi_1(K)$ を決める訳だが、 $\pi_1(K)$ の生成群と relation はグラフを用いて簡単に決まる. (Mumford [7], Wagreich [12] 参照). Wagreich は [12] で $\pi_1(K)$ が solvable となる singularity のグラフをすべて列挙している。

§ 3. Singularity の "genus" について.

Wagreich は [11] に於て singularity について 2 つの "genus" を定義している。彼の "arithmetic genus" については、筆者はその必然性を理解していないとは云い難いのだが、"genus" を最初に定義したのが彼なので、彼に従って定義しておく。

(1) $Pg(\mathcal{O}_X)$ (geometric genus) の定義.

$\pi: \tilde{X} \rightarrow X$ を X の resolution として、 $R^1\pi_*(\mathcal{O}_X)$ ($U \subset X \mapsto$

$H^1(\pi^{-1}(U), \mathcal{O}_X)$ で定義される sheaf)。を考ごろ。 π は proper よ

り、 $R^1\pi_{*}(\mathcal{O}_X)$ は coherent で、 $\text{Supp}(R^1\pi_{*}(\mathcal{O}_X)) \subset \{x\}$ 。故に、

$\dim_{\mathbb{C}}(R^1\pi_{*}(\mathcal{O}_X))_x < \infty$ とする。 $P_g(\mathcal{O}_x) = \dim_{\mathbb{C}}(R^1\pi_{*}(\mathcal{O}_X)_x)$ と定義する。

$$(R^1\pi_{*}(\mathcal{O}_X))_x = \varprojlim_{\substack{Z \supset x \\ \text{Supp } Z \subset \pi^{-1}(x)}} H^1(Z, \mathcal{O}_Z) \quad \text{する}。$$

$P_g(\mathcal{O}_x) = \sup(\dim_{\mathbb{C}} H^1(Z, \mathcal{O}_Z))$ となる。)

(2) $\text{Pa}(\mathcal{O}_x)$ (arithmetic genus) の定義。

Z が $\text{Supp}(Z) \subset \pi^{-1}(x)$ 且つ cycle のとき、 $\text{Pa}(Z) = \frac{Z^2 + KZ}{2} + 1$.

(K は X の canonical bundle) で Z の arithmetic genus が定まる。

定義 $\text{Pa}(\mathcal{O}_x) = \sup_{\substack{Z \supset x \\ \text{Supp}(Z) \subset \pi^{-1}(x)}} \text{Pa}(Z)$.

$KA_i = 2(\text{Pa}(A_i) - 1) - A_i^2$ で、 $\text{Pa}(A_i)$, A_i^2 はグラフよりわかるから、 KA_i はグラフよりわかる。ゆえに、 $\text{Pa}(\mathcal{O}_x)$ はグラフから計算可能で、全く「算術的」な種数である。

(3) 便り、我々は §2.(7) で、"fundamental cycle" Z_0 を定義した。 $\text{Pa}(Z_0)$ は 'genus' の候補者に採用しよう。これもグラフから決まる算術的な量である。 $(\text{Pa}(Z_0) \geq 0$ である。)

(4) Singularity (X, x) に対して resolution はたくさんあるから、上の 3 の定義が resolution にからずには well-defined である事を云っておく必要がある。すべての resolution は minimal (最小) resolution から、有限回の quadratic transform (- 実は blow-up の事) によって得られるから、
 $\widetilde{X}_1 \xrightarrow{\theta} \widetilde{X}_2 \xrightarrow{\pi_2} X$ の時、 \widetilde{X}_1 を用いて定義したものと、 \widetilde{X}_2 を用い

て定義したものが同じである事を示せば良い。以下の証明は容易である。(Wagreich [11]に書いてある。なお、 $Z_0 = \sum n_i A_i$ が X_2 の fundamental cycle, θ が $p \in Z_0$ を中心とする blow-up, P における Z_0 の multiplicity を μ とき、 X_1 の fundamental cycle は $\tilde{Z}_0 = \sum n_i \tilde{A}_i + \mu E$ ($E = \theta^{-1}(p)$, $\tilde{A}_i = \overline{\theta^{-1}(A_i - p)}$).

$$\star P_g(\mathcal{O}_x) \geq P_a(\mathcal{O}_x) \geq P_a(Z_0)$$

$$(\because) P_a(Z) = (1 - \dim H^0(Z, \mathcal{O}_Z)) + \dim H^1(Z, \mathcal{O}_Z) \leq \dim H^1(Z, \mathcal{O}_Z) \leq P_g(\mathcal{O}_x)$$

(5) "genus 0" の場合は上の三つの "genus" は一致し、更にこの時この singularity は $\mathbb{P}^3 \cup \mathbb{P}^3$ "良い" 性質をもつ。

定理 B. (Artin [1], Storch [3], D. Kirby [5], Brieskorn [2], Tyurina [10]) singularity (X, x) に関する次の性質は同値である。

$$(i) P_g(\mathcal{O}_x) = 0$$

$$(ii) P_a(\mathcal{O}_x) = 0$$

$$(iii) P_a(Z_0) = 0$$

$$(iv) \forall Z > 0, \text{Supp}(Z) \subset \pi^{-1}(x), P_a(Z) \leq 0.$$

$$(v) C(\mathcal{O}_x) \text{ は有限群 } (C(\mathcal{O}_x) : \mathcal{O}_x \text{ の divisor class group}).$$

(vi) (X, x) の resolution は一点を中心とする blow-up を繰り返す事によつて得られる。(Absolute isolatedness).

定義 この性質をもつ特異点を national singularity と呼ぶ。

(6) 例 1: $f: X' \rightarrow X$ は finite, X' , X は normal, $x' \in X'$, $f(x') = x$.

この時、 $\mathcal{O}_{x'}$ が national singularity (x は regular) $\Rightarrow \mathcal{O}_x$ は so.

13.2. \mathbb{C}^2 に作用する有限群 G に対して、 $\mathbb{C}^2/G \cong \text{singularity}$ と同型 (biholo.) す singularity と quotient singularity とする。

(i) quotient singularity は rational singularity.

(ii) (X, x) が quotient singularity $\Leftrightarrow \pi_1(K)$ は有限群. ([3])
quotient singularity は Brieskorn [3] に全部分類されてる。

(7) $\star \text{Pa}(z_0) = 1 \Leftrightarrow \text{Pa}(\mathcal{O}_x) = 1$ (Wagreich [1], Prop. 4.3).

(8) $(X, x), (X', x')$ が同じ resolution の $\tilde{\gamma} \rightarrow \gamma$ を $t=5$, また $\pi^1(x) \cong \pi^1(x')$ (analytic variety と (2) で $P_g(\mathcal{O}_x) = P_g(\mathcal{O}_{x'})$ と定義する)。 (後述の例参照)。

§ 4. Multiplicity と fundamental cycle の関係.

\mathcal{O}_x の極大イデアルを m_x とする. ($m_x = \{f \in \mathcal{O}_x \mid f(x)=0\}$)

$H_x(n) = \dim_{\mathbb{C}} \frac{m_x^n}{m_x^{n+1}}$ と定義すると、 $n \gg 0$ のとき.

$$H_x(n) = a_0 \binom{n+2}{2} - a_1 \binom{n+1}{1} + a_2 \quad (a_0, a_1, a_2 \in \mathbb{Z})$$

と書ける事が知られてる。このとき a_0 を \mathcal{O}_x の multiplicity (重複度) と呼び、 $\mu(\mathcal{O}_x)$ と書く。 $X = V(f) \subset \mathbb{C}^3 \overset{x=0}{\curvearrowright}$ のときは.

$\mu(\mathcal{O}_x) = \text{ord}_0(f)$ である。 ($f = \sum a_{ijk} x^i y^j z^k$ と書くとき、

$$\text{ord}_0(f) = \min \{i+j+k \mid a_{ijk} \neq 0\}.$$

\mathcal{O}_x の fundamental cycle を z_0 とするととき、次の定理が成立する。

定理 C. ($\pi: \tilde{X} \rightarrow X$ を resolution とする).

$$(i) \quad \mu(\mathcal{O}_x) \geq -z_0^2.$$

$$(ii) \quad p_a(z_0) = 0 \text{ のとき}, \quad \mu(\mathcal{O}_x) = -z_0^2.$$

(iii) $m_x \mathcal{O}_{\tilde{X}} \cong \mathcal{O}(-z_1)$ (divisor z_1 を定義する ideal) のとき.

$$z_1 \geq z_0 \text{ で}, \quad \mu(\mathcal{O}_x) = -z_1^2. \quad (\because \text{もし } z_1 > z_0 \text{ なら}, -z_1^2 > -z_0^2).$$

((i), (iii) は Wagreich [11], (ii) は Artin [1] 参照).

以上の結果によつて、 $-z_0^2$ をグラフに対する multiplicity の
ようなものと考えても良いと云える。 $\mu(\mathcal{O}_x) = -z_0^2$ となる為の
もう少しき精緻な条件が Wagreich [11] §5 に見られる。大雑把
に云つて、 $-z_0^2$ が "十分大きい" 時、 $\mu(\mathcal{O}_x) = -z_0^2$ である。

⑥ "十分大きい" を精密に定式化できないか。例えば、
 $p_a(z_0)$ のみで決まる数 N があるで、 $-z_0^2 \geq N \Rightarrow \mu(\mathcal{O}_x) = -z_0^2$ とか。

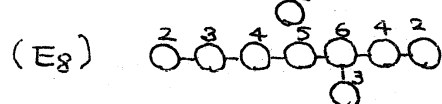
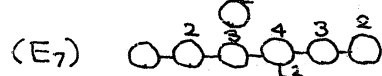
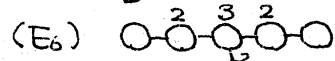
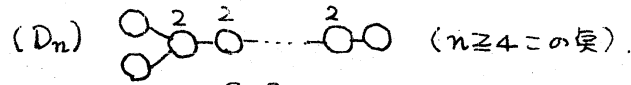
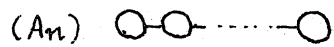
§5. グラフの分類.

与えられた数 $P, n > 0$ に対して、 $p_a(z_0) = P$, $-z_0^2 = n$ となる。

グラフをすべて示す事は（理論的には）可能である。

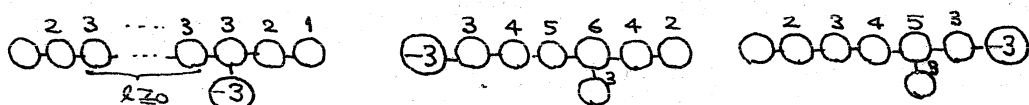
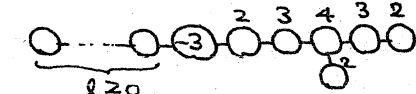
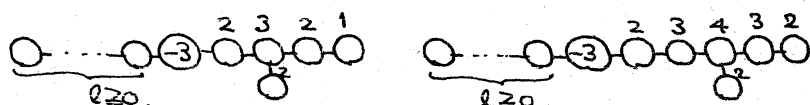
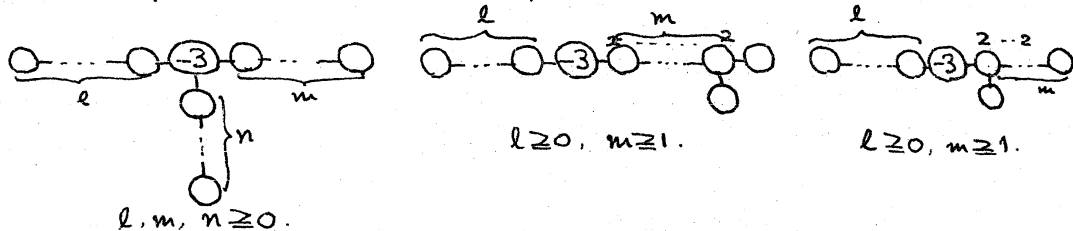
---○---○ の差を除けば、グラフは有限個である。以下に
いくつかの例を示す。（minimal resolution のグラフを示す。）

例1. $P_a(z_0) = 0, z_0^2 = -2$ のグラフは次の5種類.



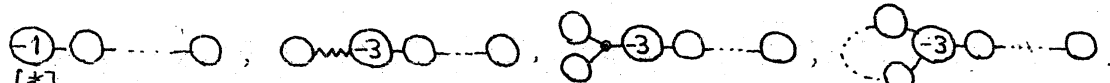
(○の上の数字は fundamental cycle に含まれる 3 つの curves multiplicity. $\overset{1}{\circ} = \circ$).

例2. $P_a(z_0) = 0, z_0^2 = -3$ のグラフは次の8種類.



($P_a(z_0) = 0, z_0^2 = -4$ なるグラフは $-\circ \cdots \circ$ だけの差を除くと 72 種類ある。).

例3. $P_a(z_0) = 1, z_0^2 = -1$ なるグラフは次の4種類.



[*] は $P_a(A_i)$ なる curve. 即ち、non-sing. elliptic, rational

で、最も簡単な cusp 又は ordinary double point 1つをもつもの。
(Wagnleit [11] i=12 c. の型が欠落している。)

グラフの分類ができたとすると、次の問題は1つのグラフは“何種類”的（同型でない） Ω_x に対応するか？という事である。Tyurina [9] は、 $A = \bigcup A_i \cong A' = \bigcup A'_i$ なるとき、 $\Omega_x \cong \Omega_{x'}$ が常に成立する為の条件を求めていながらまだ完全とは云えない。しかし、rational singularity で、 $-z_0^2 \leq 3$ のものに対しては1つのグラフに対して、1つの Ω_x しか対応しない事を示している。quotient singularity は同じ性質をもつ事が Brieskorn [3] に、また $\pi_1(K)$ が solvable であるグラフに対して Wagreich [12] がある。

★ グラフの分類の具体的な計算方法について

$z < z_0$ とすると、fundamental cycle の定義から、 $\exists A_i, z.A_i > 0$.

$$\therefore p(z+A_i) = p_a(z) + p_a(A_i) + (z.A_i) - 1 \geq p_a(z) + p_a(A_i)$$

より、 $p_a(z_0)$ なる事と、 $p_a(z_0)$ に至る chain に次のようなる事が起る度に、 $p_a(z_0)$ が増して行く事がわかる。

1°. $p_a(A_i) \geq 1$ なる A_i が存在する。

2°. $A_i, A_j \geq 2$ なる i, j が存在する。（これは $z.A_i \geq 2$ となる。）

3°. $A_i \cap A_j \cap A_k \neq \emptyset$ なる (i, j, k) が存在する。

4°. グラフが cycle をもつ。

故に、例えば $p_a(z_0) = 0$ のときは、1°～4° は起らない。また、例えば $-z_0^2 = 2 \Rightarrow Kz_0 = 0$ 、 $A_i^2 \leq -2$ より $K.A_i = 0$ もわかる。あとは Kodaira [6] §6 と同様にすれば良い。

§ 6. 例.

(1) Weighted homogeneous polynomial で定義され \mathbb{P}^2 singularity のグラフは、Orlik-Wagreich [8] で計算方法が示されている。
 グラフは星型（一つの頂点から何本かの直線がのがれていく形）である。実際に計算してみると色々面白い図形があらわれ
 3。（[c] は $x^2-y^3=0$ の cusp と \rightarrow rational curve をあらわす）。

$$x^2 + y^2 + z^n = 0 \quad \text{Graph: } \begin{array}{c} \textcircled{1} \textcircled{2} \cdots \textcircled{n-1} \\ \text{---} \end{array} \quad p_a(z_0) = 0, \quad z_0^2 = -2.$$

$$x^2 + y^3 + z^3 = 0 \quad \text{Graph: } \begin{array}{c} \textcircled{2} \\ \textcircled{1} \textcircled{2} \\ \text{---} \end{array} \quad p_a(z_0) = 0, \quad z_0^2 = -2.$$

$$x^2 + y(z^2 + y^n) = 0 \quad \text{Graph: } \begin{array}{c} \textcircled{2} \textcircled{3} \cdots \textcircled{n-1} \\ \textcircled{1} \textcircled{2} \textcircled{3} \cdots \textcircled{n-1} \\ \text{---} \end{array} \quad p_a(z_0) = 0, \quad z_0^2 = -2.$$

$$x^2 + y^3 + z^4 = 0 \quad \text{Graph: } \begin{array}{c} \textcircled{2} \textcircled{3} \textcircled{4} \\ \textcircled{1} \textcircled{2} \textcircled{3} \textcircled{4} \\ \text{---} \end{array} \quad p_a(z_0) = 0, \quad z_0^2 = -2.$$

$$x^2 + y^3 + z^5 = 0 \quad \text{Graph: } \begin{array}{c} \textcircled{2} \textcircled{3} \textcircled{4} \textcircled{5} \textcircled{6} \textcircled{7} \\ \textcircled{1} \textcircled{2} \textcircled{3} \textcircled{4} \textcircled{5} \textcircled{6} \textcircled{7} \\ \text{---} \end{array} \quad p_a(z_0) = 0, \quad z_0^2 = -2.$$

$$x^2 + y(y^2 + z^3) = 0 \quad \text{Graph: } \begin{array}{c} \textcircled{2} \textcircled{3} \textcircled{4} \textcircled{5} \textcircled{6} \textcircled{7} \\ \textcircled{1} \textcircled{2} \textcircled{3} \textcircled{4} \textcircled{5} \textcircled{6} \textcircled{7} \\ \text{---} \end{array} \quad p_a(z_0) = 0, \quad z_0^2 = -2$$

$$x^2 + y^3 + z^{6n} = 0 \quad \text{Graph: } \begin{array}{c} \textcircled{-1} \\ \textcircled{1} \textcircled{2} \cdots \textcircled{n-1} \\ \text{---} \end{array} \quad p_a(z_0) = 1, \quad z_0^2 = -1.$$

$$x^2 + y^3 + z^{6n+1} = 0 \quad \text{Graph: } \begin{array}{c} \textcircled{-1} \\ \textcircled{1} \textcircled{2} \cdots \textcircled{n-1} \\ \text{---} \end{array} \quad p_a(z_0) = 1, \quad z_0^2 = -1.$$

$$x^2 + y^3 + z^{6n+2} = 0 \quad \text{Graph: } \begin{array}{c} \textcircled{-1} \textcircled{3} \\ \textcircled{1} \textcircled{2} \cdots \textcircled{n-1} \\ \text{---} \end{array} \quad p_a(z_0) = 1, \quad z_0^2 = -1.$$

$$x^2 + y^3 + z^{6n+3} = 0 \quad \text{Graph: } \begin{array}{c} \textcircled{-1} \textcircled{3} \\ \textcircled{1} \textcircled{2} \cdots \textcircled{n} \\ \text{---} \end{array} \quad p_a(z_0) = 1, \quad z_0^2 = -1.$$

$$x^2 + y^3 + z^{6n+4} = 0 \quad \text{Graph: } \begin{array}{c} \textcircled{-1} \textcircled{3} \textcircled{2} \\ \textcircled{1} \textcircled{2} \textcircled{3} \cdots \textcircled{n-1} \\ \text{---} \end{array} \quad p_a(z_0) = 1, \quad z_0^2 = -1.$$

$$x^2 + y^3 + z^{6n+5} = 0 \quad \text{Graph: } \begin{array}{c} \textcircled{2} \textcircled{4} \textcircled{6} \textcircled{5} \textcircled{4} \textcircled{3} \textcircled{2} \\ \textcircled{1} \textcircled{3} \textcircled{2} \cdots \textcircled{n-1} \\ \text{---} \end{array} \quad p_a(z_0) = 1, \quad z_0^2 = -1.$$

$$x^2 + y^4 + z^{4n} = 0 \quad \text{Graph: } \begin{array}{c} \textcircled{1} \textcircled{2} \cdots \textcircled{n-1} \\ \textcircled{1} \textcircled{2} \cdots \textcircled{n-1} \\ \text{---} \end{array} \quad p_a(z_0) = 1, \quad z_0^2 = -2.$$

$$x^2 + y^4 + z^{4n+1} = 0 \quad \text{Diagram: } \begin{array}{c} \textcircled{-3} \\ \diagup \quad \diagdown \\ \textcircled{-3} \end{array} \quad P_a(z_0) = 1, z_0^2 = -2.$$

$$x^p + y^q + z^{pq} = 0 \quad \text{Diagram: } \begin{array}{c} \textcircled{-1} \\ \diagup \quad \diagdown \\ \frac{[p-1](q-1)}{2} \end{array} \quad (\text{但し } L(p, q) = 1) \quad P_a(z_0) = \frac{(p-1)(q-1)}{2}, z_0^2 = -1.$$

$$x^p + y^q + z^{pq+1} = 0 \quad \text{Diagram: } \begin{array}{c} \textcircled{-1} \\ \diagup \quad \diagdown \\ [x^p - y^q = 0 \text{ or } \text{cusp ETC}] \\ \text{rational curve} \end{array} \quad (\text{但し } L(p, q) = 1) \quad P_a(z_0) = \frac{(p-1)(q-1)}{2}, z_0^2 = -1.$$

$$x^2 + y^5 + z^5 = 0 \quad \text{Diagram: } \begin{array}{c} \textcircled{-3} \\ \diagup \quad \diagdown \\ \textcircled{-3} \end{array} \quad P_a(z_0) = 1, z_0^2 = -2.$$

$$x^2 + y^3 + yz^{4n+1} = 0 \quad \text{Diagram: } \begin{array}{c} \textcircled{-3} \\ \diagup \quad \diagdown \\ \textcircled{-3} \end{array} \quad P_a(z_0) = 1, z_0^2 = -1.$$

(2) weighted ~~not~~ homogeneous でなう場合、埋め込み次元が高いう場合。
(但し、与えられた elliptic curve の \mathbb{P} -整数に対する)

$$\textcircled{-n} \quad \left\{ \frac{z_0}{z_1} = \frac{z_1}{z_2} = \dots = \frac{z_{n-1}}{z_n} \right\} \subset \mathbb{C}^{n+1}.$$

$$\textcircled{-3} \quad \left\{ x^2 z - 4y^3 - g_2 y z^2 - g_3 z^3 = 0 \right\} \subset \mathbb{C}^3$$

$$\textcircled{-4} \quad \left\{ \begin{array}{l} z_2^2 - 4z_1 z_3 - g_2 z_0 z_1 - g_3 z_0^2 = 0 \\ z_1^2 - z_0 z_3 = 0 \end{array} \right\} \subset \mathbb{C}^4$$

$$\textcircled{-5} \quad \left\{ \begin{array}{l} z_1^2 - z_0 z_3 = 0 \\ z_2 z_4 - 4z_3^2 - g_2 z_0 z_3 - g_3 z_0 z_1 = 0 \\ z_1 z_2 - z_0 z_4 = 0 \\ z_2^2 - 4z_1 z_3 - g_2 z_0 z_1 - g_3 z_0^2 = 0 \\ z_4 z_4 - z_2 z_3 = 0 \end{array} \right\} \subset \mathbb{C}^5$$

($\textcircled{-6}$, $\textcircled{-7}$, ..., $\textcircled{-12}$) 時間さえあれば計算でさす ... [123]

$$\text{Diagram: } \begin{array}{c} \textcircled{-3} \\ \diagup \quad \diagdown \\ \textcircled{-3} \end{array} \quad x^2 + y^3 - 3yz^4 + yz^5 + 2z^6 - z^7 = 0.$$

$$\text{Diagram: } \begin{array}{c} \textcircled{-3} \\ \diagup \quad \diagdown \\ \textcircled{-3} \end{array} \quad z^2 - (x+y^2)(x^2+y^7) = 0.$$

$$\text{Diagram: } \begin{array}{c} \textcircled{-4} \\ \diagup \quad \diagdown \\ \textcircled{-4} \end{array} \quad z^2 + x^3 y + x^2 y^2 + t y^n = 0 \quad n \geq 5, t \text{ 負の数 } n-4 \text{ に}.$$

(3) $P_a(\mathcal{O}_x) > P_a(Z_0)$ なるグラフ. $\begin{matrix} (-1) \\ [3] \end{matrix}$ に於て.

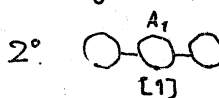
$P_a(Z_0) = 3 < P_a(2Z_0) = 4 = P_a(\mathcal{O}_x)$ (二つの例はいくらでも作れる。)

(4) $P_g(\mathcal{O}_x) > P_a(\mathcal{O}_x)$ なる例. (Wagnleit [11])

1°. $\begin{matrix} (-g) \\ [g] \end{matrix}$ で. $-g \geq -n \geq 2 - 2g$ とすると、 $P_g(\mathcal{O}_x)$ は.

$3g - n - 1$ と g の間のすべての値をとらせる事ができる。

$$P_a(\mathcal{O}_x) = g.$$

2°.  で. $2 = P_g(\mathcal{O}_x) = \dim H^1(\mathcal{O}_{Z_0+A}) > P_a(\mathcal{O}_x) = 1$.

§6. あとがき.

Singularity o genus を正当化する材料は今のところ genus 0 を除いて余りないようには思われる。Kodaira [6] の §7 以下に応する事は云えないとどうか？ また、グラフを与えた時、そのグラフをもつ singularity を特徴づける事もまた一般には出来ていないう�た。問題は事欠かずだが、解けるかどうか？

References.

- [L] Laufer : Normal 2-dimensional singularities.
(Princeton, 1971).
- [1]. Artin : On isolated rational singularities of surfaces.

- Amer. J. 88 ('66) 129~136.
- [2] Brieskorn : Über die Auflösung gewisser Singularitäten von holomorphen Abbildungen. Math. Ann. 166 ('66) 76~102.
- [3] Brieskorn : Rational Singularitäten komplexen Flächen. Invention 4 ('68) 336~58.
- [4] Hirzebruch 10 : Quadratic forms and differential manifolds. Dekker 4 ('71).
- [5] D. Kirby : The structure of an isolated multiple point of a surface. I, II, III. Proc. London Math. Soc. 4 ('56)
- [6] K. Kodaira : On compact analytic surfaces II. Annals of math. 77 ('63)
- [7] McConford : The topology of normal singularities of an algebraic surface. Bull. I.H.E.S. 9 ('61)
- [8] Orlik-Wagreich : Isolated singularities with \mathbb{C}^* -action. Annals of Math. 93 ('71) 205~228.
- [9] G.N. Tyurina : On the tautness of rationally contractible curves on a surface. Izv. 2 ('68) 907~34.
- [10] ————— : Absolute isolatedness of rational singularities and triple rational points. Func. anal. & its app. 2 ('68).
- [11] Wagreich : Elliptic singularities of surfaces.

Amer. J. 92 ('70) 419 ~ 454.

[12] — : Singularities of complex surfaces with
solvable local fundamental groups. Topology 11 ('72)
51 ~ 72.

[13] Storch : Fastfaktorielle Ringe. Schriftenreihe
Math. Inst. Univ. Münster ('67).